

## Concentração de tensões

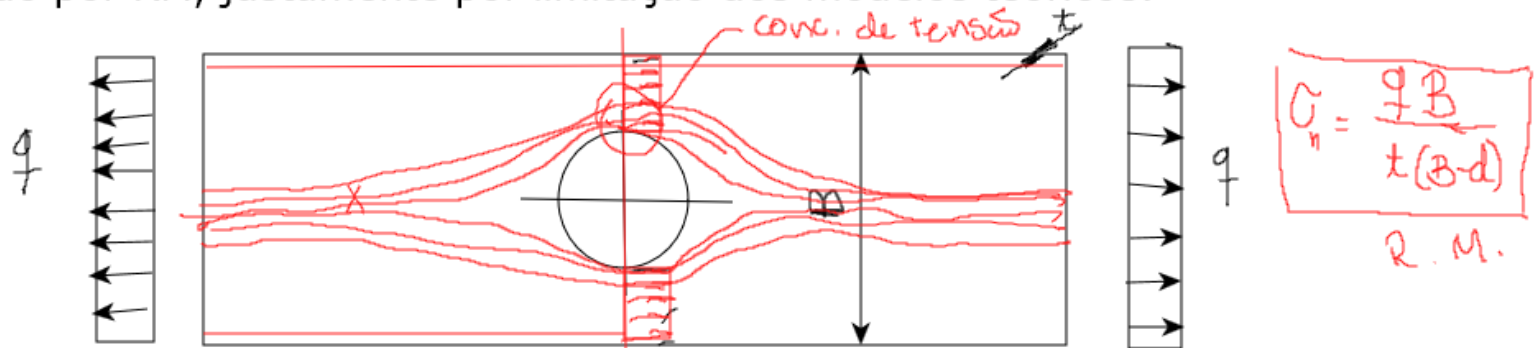
Anteriormente: Como determinar o estado de tensão num ponto usando a RM

Equilíbrio estático

Determinação dos esforços internos

Determinação das tensões - Tensões nominais (calculadas - resistência dos materiais)

Entretanto, por resultado experimental, as tensões reais podem ser diferentes do calculado por RM, justamente por limitação dos modelos teóricos.



o furo está distante do ponto de aplicação da carga externa

Não há flexão da chapa

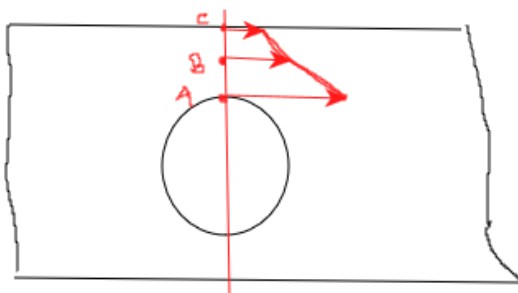
Elástico linear



Tensão - resulta de deformação e corresponde à transmissão de esforços no interior do sólido

Experimento - Medição de tensão (deformação na linha do diâmetro do furo)

$$\frac{\varepsilon_A}{\varepsilon_n} \approx K_c$$
$$K_c > 1$$



$$\varepsilon_A > \varepsilon_n$$

Em A, B, C -  
Extensômetros  
(deformação)

$K_c$  - Fator de concentração de tensão

$K_c > 1$  - TENSÃO REAL NO PONTO  
MAIOR QUE O CALCULADO!!

Possível local para início de  
uma falha/ruptura

Variações na forma e dimensões da seção transversal das peças

Em uniões entre peças

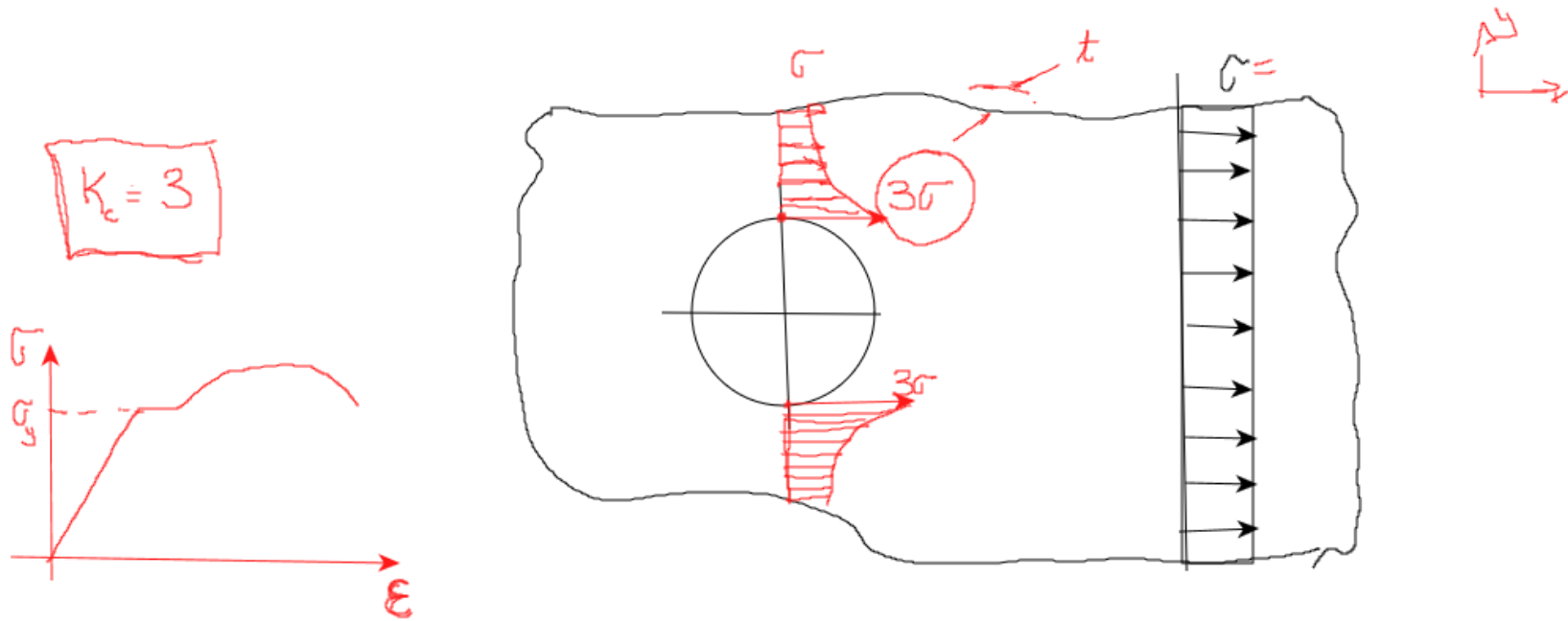
Em pontos de aplicação de esforço externo

Teórico - Teoria da elasticidade (função potencial, campo complexo)  
Casos de geometria simples/idealizado (chapa infinita com furo)

Experimental - Medição na peça real ou peça semelhante (\*)

Modelo numérico - P. ex. Método dos elementos finitos  
Precisão/Estabilidade do método numérico, qualidade do modelo,  
discretização da malha de EF...

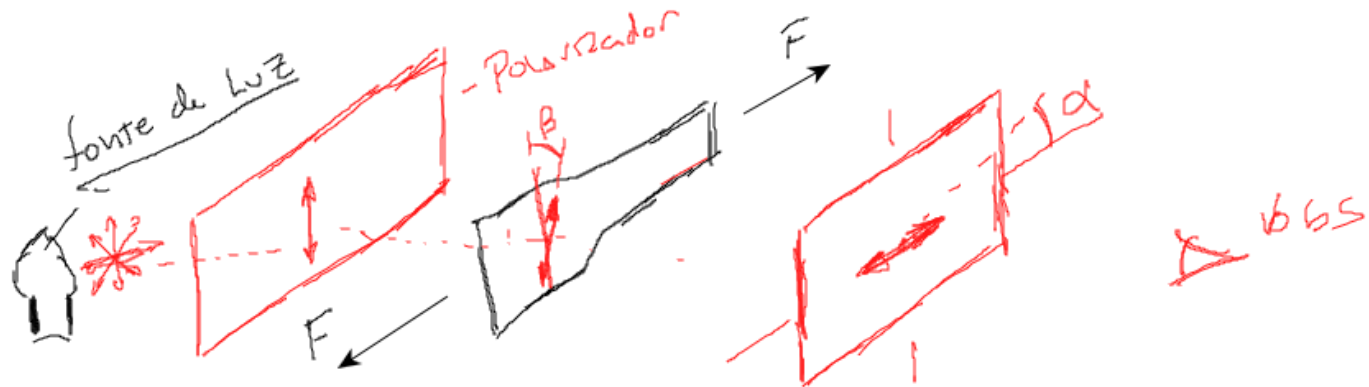
teórico - chapa "infinita" com furo (diâmetro do furo menor que comprimento e largura da chapa, furo distante das bordas da chapa e dos pontos de aplicação do carregamento externo. (tensões de tração)



Experimental - Peterson, J - "Stress concentration factors"

Estudo experimental de diferentes geometria com concentração de tensão

Técnica experimental - fotoelasticidade. Peça em resina translúcida.  
Variação do índice de refração conforme a tensão aplicada



ângulo  $\beta$  é proporcional ao índice de refração  
que é proporcional a  $\sigma$

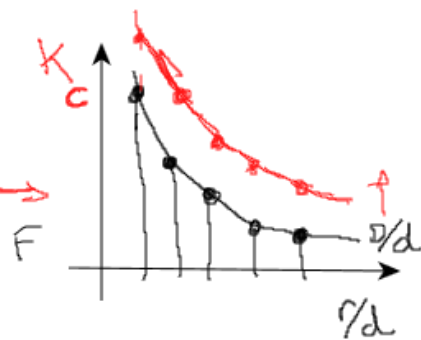
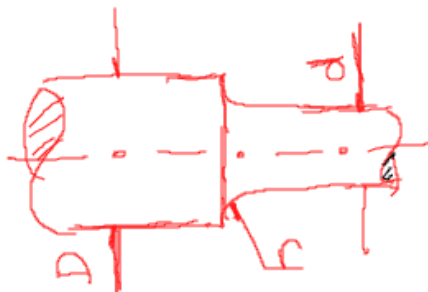
Dúvida: A distribuição de tensões na peça experimental seria a mesma numa peça qualquer?

$$K_c = \frac{\sigma_{exp}}{\sigma_n}$$

Se os materiais forem elásticos-lineares  
o valor  $K_c$  é aproximadamente o mesmo independente do material da peça

$$\sigma = F/A$$

$$\epsilon_n = \frac{\Delta L}{L}$$



Concentrador de tensão único na peça

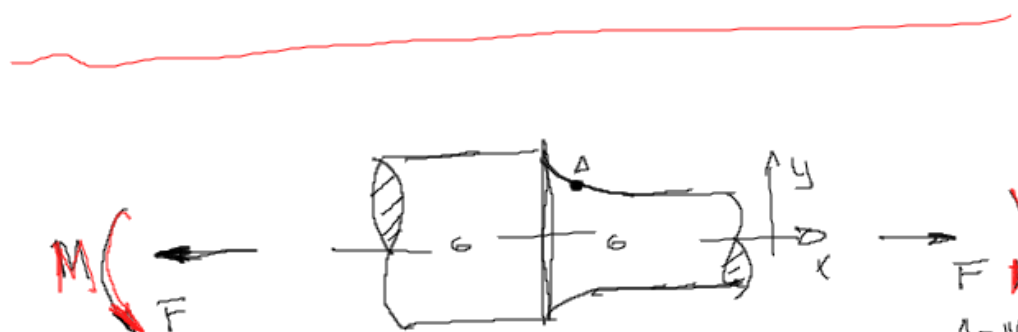
Concentrador de tensão distante dos pontos de aplicação de carga

Regime elástico - linear

Flexão, cisalhamento (fc),  
torsional

Geometrias típicas de eixo:  
Mudanças de diâmetro, furos  
transversais, rasgos de  
chaveta...

Diferentes esforços solicitantes



$$K_f = 1,65 \text{ (flexão)}$$

$$K_F = 1,9 \text{ (cortante)}$$

Nominal + =

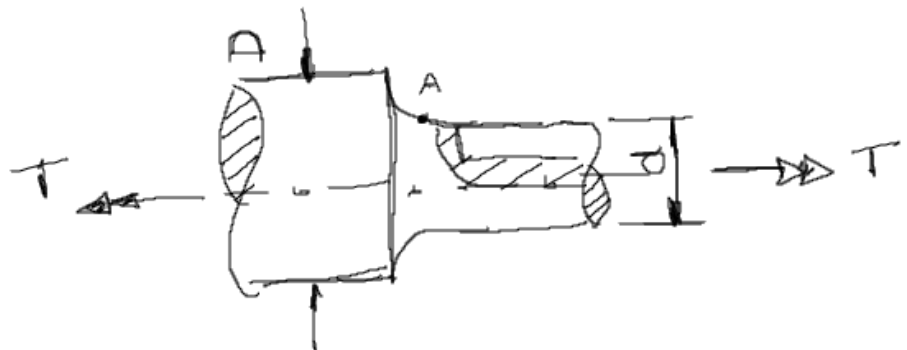
$$\sigma_n = \frac{F}{A_T} + \frac{M \cdot y_a}{I_{xx}} = 70 \text{ MPa}$$

Tensão real?

$$\sigma_i = \frac{k_F \cdot E}{A} + k_f \cdot \frac{M \cdot y_s}{I_{bf}}$$
$$= \frac{1,9}{40} + \frac{1,65}{30}$$
$$= \boxed{\underline{125,5 \text{ MPa}}}$$

$$D/d = 1,5$$

$$r/d = 0,10$$



• Pode usar os  
valores experimentais ??

Se positivo, como?

Se negativo, por que ?? e como  
determinar ??

2 conc. de tensão  
"vizinhos"

$$\left\{ \begin{array}{l} K_f = 1,5 \text{ (rebaixo)} \\ K_f = 1,6 \text{ (rasgo de chaveta)} \\ \rightarrow \cdot \text{Experimental} \\ \cdot \text{conc. único na Pega} \end{array} \right.$$